

## ИСТОЧНИКИ И ПРИЕМНИКИ ОПТИЧЕСКОГО ИЗЛУЧЕНИЯ ДЛЯ ИССЛЕДОВАНИЯ ОКРУЖАЮЩЕЙ СРЕДЫ

УДК 621.373.8

# Повышение эффективности возбуждения CuBr-лазера за счет модификации разрядного контура

М.В. Тригуб<sup>1,2</sup>, В.В. Власов<sup>1</sup>, Д.В. Шиянов<sup>1</sup>, В.Б. Суханов<sup>1</sup>, В.О. Троицкий<sup>1\*</sup>

<sup>1</sup>Институт оптики атмосферы им. Б.Е. Зуева СО РАН

634055, г. Томск, пл. Академика Зуева, 1

<sup>2</sup>Национальный исследовательский Томский политехнический университет

634050, г. Томск, пр. Ленина, 30

Поступила в редакцию 1.08.2017 г.

Представлен метод повышения эффективности возбуждения CuBr-лазера путем модификации разрядного контура. Для этого в разрядном контуре использовался импульсный кабельный автотрансформатор, эффективность применения которого была продемонстрирована для Си-лазеров. Оценена эффективность возбуждения CuBr-лазера с помощью четырех разрядных контуров при неизменной мощности, потребляемой источником питания от сети, и одинаковых режимах работы активного элемента лазера. С использованием автотрансформатора и обострительного конденсатора мощность генерации была увеличена с 14 до 21 Вт. Повышение эффективности возбуждения обусловлено наличием задержки между началом развития тока через газоразрядную трубку и импульсом напряжения, а также изменением энерговклада в среду. Предложенный метод может быть использован в практических задачах для увеличения эффективности накачки лазеров на парах галогенидов металлов.

**Ключевые слова:** CuBr-лазер, эффективность возбуждения, энерговклад, импульсный трансформатор; CuBr laser, efficiency, energy input, cable pulse autotransformet.

## Введение

Лазеры на самоограниченных переходах металлов обладают набором характеристик, которые резко выделяют их на фоне других. Высокая спектральная яркость, большой набор линий излучения, в том числе в видимом диапазоне спектра, высокочастотный режим работы (свыше 500 кГц) [1] и качество излучения, близкое к дифракционному, позволяют оставаться данному типу лазеров незаменимым прибором в ряде приложений, например в задачах активной фильтрации изображений [2], прецизионной микрообработке материалов и изделий [3], загоризонтной связи [4] и др. Следует отметить, что спрос на такие лазеры ограничен ввиду их относительно малой эффективности (практический КПД не превышает 10% [5]), малого срока службы и сложности эксплуатации. Поэтому увеличение выходной мощности излучения, срока эксплуатации и КПД до сих пор остается приоритетным направлением развития лазеров на парах металлов, а успешное решение этих задач позволит, на наш взгляд, расширить область их использования.

Для этих целей применяются различные методы [5–14]. В ряде работ, анализ которых представлен в [6], приведены сведения о влияние апертуры газоразрядной трубки (ГРТ) на эксплуатационные характеристики лазеров на парах металлов, сообщается об увеличении мощности излучения за счет увеличения диаметра ГРТ. В свою очередь, это приводит к резкому снижению сопротивления разрядного промежутка, что создает трудности по введению энергии в разряд [9] вследствие рассогласования источника накачки и активной среды. Модификация кинетики активной среды посредством использования вспомогательных веществ в активной зоне, например водорода и водородсодержащих элементов, позволяет увеличить энергетические и частотные характеристики лазеров [1, 10–12] и усилителей на переходах атомов металлов [13, 14]. Однако, как показали исследования, лазер с подобной активной средой имеет нестабильные по времени параметры и требует постоянной корректировки режима работы, в частности, температуры контейнеров с НBr и CuBr при изменении вводимой мощности в активную среду.

Повысить эффективность возбуждения и мощность излучения можно благодаря согласованию источника накачки и активной среды в соответствии с условиями формирования максимальной инверсной населенности [6]. Для этого необходимо создать высокую концентрацию электронов с энергией,

\* Максим Викторович Тригуб (trigub@tpu.ru); Василий Васильевич Власов (vlasov\_vas\_vas@mail.ru); Дмитрий Валерьевич Шиянов (qel@asd.iao.ru); Виктор Борисович Суханов (qel@asd.iao.ru); Владимир Олегович Троицкий (qel@iao.ru).

достаточной для возбуждения атома меди, что предполагает увеличение скорости нарастания напряжения и тока возбуждения, а также наличие задержки между ними. Для обострения крутизны тока в [8] был использован импульсный трансформатор. Авторы публикации сообщают, что путем модификации схемы удается укоротить длительность импульса возбуждения и его фронт. Это приводит к увеличению средней мощности излучения практически в 2 раза для лазера на парах меди. Применение импульсных трансформаторов позволило повысить КПД без модификации источников питания и кинетики плазмы активной среды и может быть востребовано при разработке лазерных систем.

Цель настоящей работы – повышение эффективности возбуждения активной среды CuBr<sub>2</sub>-лазера путем модификации разрядного контура с использованием импульсного автотрансформатора и обострительного конденсатора. Проведены экспериментальные исследования влияния топологии разрядного контура на параметры импульсов возбуждения активной среды, энерговклад и среднюю мощность генерации CuBr<sub>2</sub>-лазера.

## Экспериментальная установка

В исследовании использовался активный элемент на парах бромида меди с независимыми нагревателями активной среды и контейнеров с CuBr<sub>2</sub> и HBr [15]. Такая конструкция позволяла поддерживать одинаковый тепловой режим работы активного элемента при изменении вводимой мощности в среду, а также поддерживать концентрацию CuBr<sub>2</sub> на одном уровне. Диаметр активной зоны ГРТ составлял 5 см, длина 90 см, излучение формировалось плоскопараллельным резонатором. Исследовалась стандартная схема прямого разряда накопительного конденсатора через тиатрон ТГИ1-1000/25 (рис. 1, а) и схема с импульсным автотрансформатором (Tp) (рис. 1, б). Заряд осуществлялся с помощью источника с импульсным зарядом рабочей емкости [16, 17]. В экспериментах мощность, потребляемая источником от сети, была постоянной и равнялась 1800 Вт. Накопительная емкость ( $C_h$ ) заряжалась от источника напряжения (ИН) до 12 кВ через зарядную индуктивность  $L_s$ . Коммутация емкости на ГРТ осуществлялась через тиатрон ТГИ1 при подаче запускающего импульса, формируемого в блоке запуска (БЗ). Рабочая емкость была 1650 пФ (разброс 20%), частота следования импульсов – 11 кГц; следовательно, энергия, накапливаемая в конденсаторе, составляла 118,8 мДж. Емкость обострительного конденсатора ( $C_o$ ) равнялась 200 пФ (разброс 20%). Импульсный автотрансформатор реализован на 8 ферритовых кольцах K100×56×15 марки 2000НМ, обмотка выполнена коаксиальным кабелем РК50, число витков – 6, коэффициент трансформации – 2.

Были исследованы четыре варианта разрядного контура: традиционная схема, традиционная схема с обострительным конденсатором, схема с импульсным автотрансформатором и импульсным автотрансформатором с обострительным конденсатором. Для

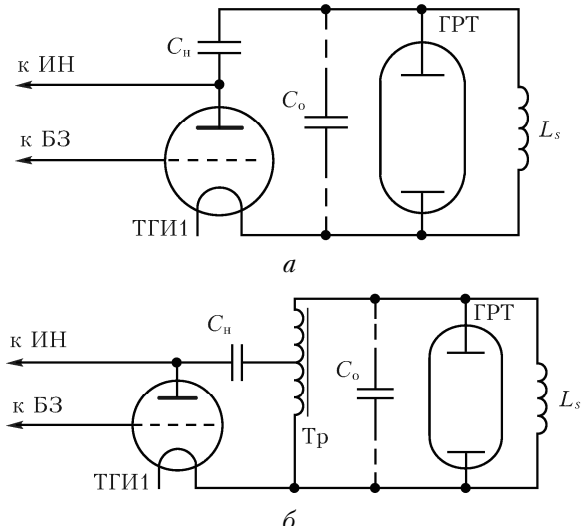


Рис. 1. Схемы возбуждения без автотрансформатора (а) и с автотрансформатором (б)

регистрации параметров импульсов тока через ГРТ, напряжения на ГРТ и импульса излучения применялись соответственно датчик тока Pearson, высоковольтный делитель Testronix P6052 и коаксиальный фотоэлемент ФЭК-22. Импульсы регистрировались осциллографом LeCroy WaveJet-324. Измерение мощности проводилось с помощью Ophir 30С-SH.

## Результаты эксперимента

Для определения зависимости эффективности возбуждения от параметров разрядного контура регистрировались средняя мощность генерации, импульсы напряжения на ГРТ ( $U_{ГРТ}$ ), тока через ГРТ ( $I_{ГРТ}$ ), излучения ( $L$ ). Осциллограмма импульса излучения получена в относительных единицах. Путем перемножения мгновенных значений тока и напряжения была определена мгновенная мощность ( $P_{ГРТ}$ ), вкладываемая в ГРТ, временная зависимость которой также представлена на осциллограммах. Эффективность возбуждения оценивалась как отношение энергии излучения к энергии, вкладываемой в активный элемент. Отметим, что полученные значения энерговклада не учитывают реактивных составляющих активного элемента и не могут быть использованы для оценки эффективности ввода энергии в среду. Данный параметр использовался для определения качественных и количественных изменений энерговклада в зависимости от параметров разрядного контура.

Для первого варианта схемы возбуждения (рис. 1, а) были получены осциллограммы, представленные на рис. 2, без обострительного конденсатора (а) и с ним (б). Средняя мощности генерации была 14 Вт, т.е. энергия импульса составляла 1,27 мДж в обоих случаях. Без использования обострительного конденсатора энерговклад в среду, определяемый как площадь под кривой, описывающей мгновенную мощность, до начала импульса генерации  $E_{\Sigma} = 30$  мДж (заштрихованная на осцилло-

граммах часть) при общем энерговкладе за импульс возбуждения 123 мДж. Следует обратить внимание на малое время задержки между началом развития тока через ГРТ и импульсом напряжения, что негативно сказывается на уровне инверсной населенности за счет заселения метастабильных уровней атома меди электронами с малой энергией.

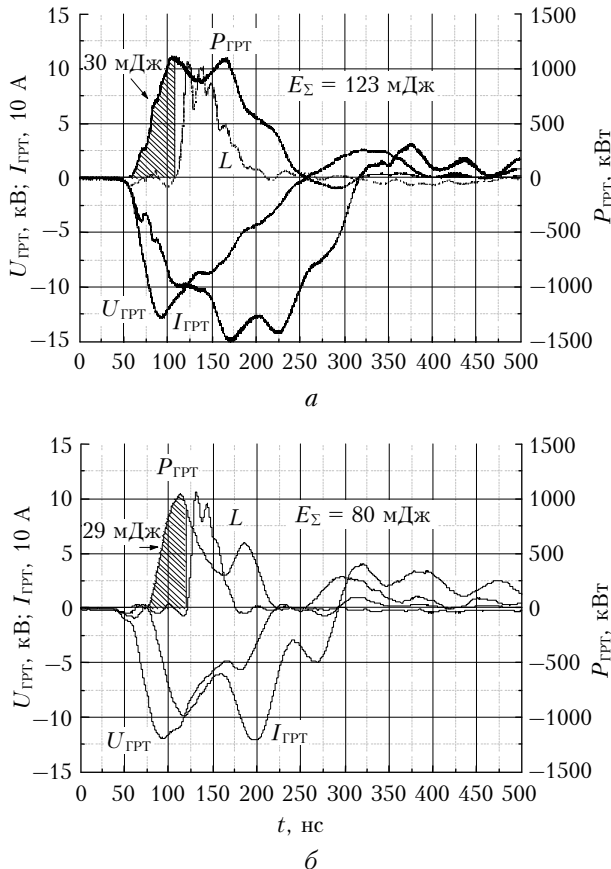


Рис. 2. Осциллографмы  $U_{\text{ГРТ}}$ ,  $I_{\text{ГРТ}}$ ,  $L$  и  $P_{\text{ГРТ}}$  для схемы без автотрансформатора без обострительного конденсатора (а) и с ним (б)

На рис. 2, б показаны осциллографмы, полученные при включении в контур обострительного конденсатора. Суммарный энерговклад составил 80 мДж, что в 1,5 раза меньше, чем в первом случае. Энерговклад до начала импульса генерации практически не изменился ( $E_{\Sigma} = 29$  мДж). Между импульсом напряжения и началом развития тока в ГРТ наблюдается задержка в 25 нс. Эффективность возбуждения, определяемая как отношение энергии излучения к общему энерговкладу, увеличилась с 1 до 1,6% при включении в контур разряда обострительного конденсатора (см. рис. 1, а). Мощность генерации при этом не увеличилась, что делает такой подход к повышению КПД неприемлемым на практике.

Следующим этапом стало исследование схемы, представленной на рис. 1, б с использованием импульсного трансформатора. На рис. 3 приведены осциллографмы для случая без обострительного конденсатора (а) и с ним (б).

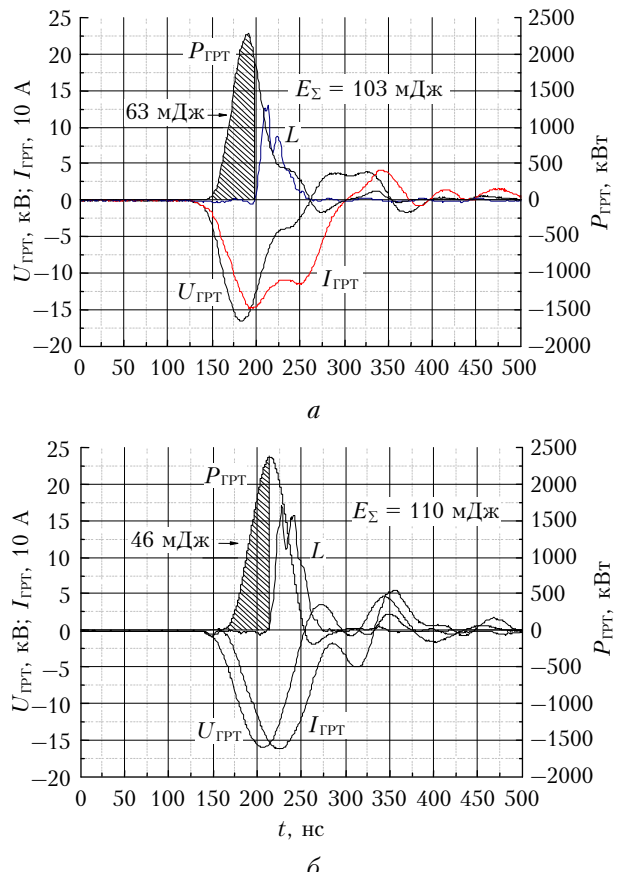


Рис. 3. Осциллографмы  $U_{\text{ГРТ}}$ ,  $I_{\text{ГРТ}}$ ,  $L$  и  $P_{\text{ГРТ}}$  для схемы с автотрансформатором без обострительного конденсатора (а) и с ним (б)

Видно, что использование автотрансформатора привело к увеличению амплитуды напряжения на ГРТ до 16 кВ, а также к изменению энерговклада в среду и его распределению во времени. В случае без обострительного конденсатора (рис. 3, а) энерговклад за импульс возбуждения составил 103 мДж и вся энергия поступала в активную среду до момента окончания импульса генерации. До начала импульса генерации энергия, поступающая в среду, составляла 63 мДж. Энергия излучения была 1,27 мДж (средняя мощность излучения 14 Вт), а КПД по общему энерговкладу – 1,2%. На рис. 3, б энергия импульса генерации равна 1,91 мДж (средняя мощность 21 Вт) при сохранении общего энерговклада на том же уровне, что и без конденсатора – 110 мДж, следовательно, эффективность возбуждения увеличилась до 1,8%. Обращает на себя внимание тот факт, что энерговклад до начала импульса генерации составил 46 мДж, что на 30% ниже, чем для случая без обострительного конденсатора. Несмотря на это, мощность генерации увеличилась в 1,5 раза. Амплитудные значения импульсов напряжения и тока отличаются незначительно, но в последнем случае замечена задержка начала развития тока относительно начала нарастания напряжения на ГРТ на 22 нс, что практически совпадает с результатом, представленным на рис. 2, б.

## Заключение

Использование импульсного автотрансформатора, позволяет увеличить энерговклад в активную среду до начала импульса генерации практически в 2 раза. При этом происходит некоторое снижение общего энерговклада в среду ~20%. Без использования обострительного конденсатора повышения мощности генерации не наблюдалось, несмотря на увеличение энерговклада, амплитуды импульса напряжения и скорости нарастания тока через ГРТ. Включение в контур обострительного конденсатора позволяет обеспечить задержку развития тока через ГРТ относительно начала формирования импульса напряжения на ней. Без применения импульсного трансформатора снижение общего энерговклада не повлияло на среднюю мощность генерации. В случае с использованием автотрансформатора и включением в контур разряда обострительного конденсатора наблюдалось увеличение мощности генерации в 1,5 раза при снижении энерговклада до начала импульса генерации на 30%.

Обострительный конденсатор обеспечивает некоторую задержку начала развития тока через ГРТ относительно импульса напряжения, которая в условиях эксперимента составила ~20 нс. В совокупности с увеличением энерговклада до начала импульса генерации за счет использования импульсного автотрансформатора достигается увеличение эффективности возбуждения лазера в 1,5 раза. Путем незначительной модификации схемы разрядного контура средняя мощность генерации повысилась с 14 до 21 Вт при сохранении мощности, потребляемой источником от сети. При этом практический КПД, рассчитываемый по энергии, запасенной в накопительном конденсаторе, увеличился до 1,6%.

Работа выполнена при поддержке РНФ (проект № 14-19-00175).

1. Нехорошев В.О., Федоров В.Ф., Евтушенко Г.С., Торгаев С.Н. Лазер на парах бромида меди с частотой следования импульсов до 700 кГц // Кvant. elektron. 2012. Т. 42, № 10. С. 877–879.
2. Тригуб М.В., Платонов В.В., Федоров К.В., Евтушенко Г.С., Осипов В.В. CuBr-лазер в задачах визуализации процессов получения наноматериалов // Optika atmosf. и океана. 2016. Т. 29, № 3. С. 249–253; Trigub M.V., Platonov V.V., Fedorov K.V., Evtushenko G.S., Osipov V.V. CuBr laser for nanopowder production visualization // Atmos. Ocean. Opt. 2016. V. 29, N 4. P. 376–380.
3. Asratyan A.A., Bulychev N.A., Feofanov I.N., Kazaryan M.A., Krasovskii V.I., Lyabin N.A., Pogosyan L.A., Sachkov V.I., Zakharyan R.A. Laser processing with specially designed laser beam // Appl. Phys. A: Mater.

*M.V. Trigub, V.V. Vlasov, D.V. Shiyano, V.B. Sukhanov, V.O. Troitsky. Enhancement of pumping efficiency of a CuBr laser by means of modification of the discharge circuit.*

A technique is suggested for enhancement of the pumping efficiency of a CuBr laser by means of modifications of the discharge circuit with a cable pulse autotransformer. The results of using four different discharge circuits are described. The experiments were carried out under similar operating conditions of the active element and at a constant input power of the pumping source. The output power increases from 14 to 21 W with the use of autotransformer and peaking capacitor. The power increase is a result of a delay between GDT current and pumping voltage and different volume-temporal characteristic of the energy input into a charge. The technique suggested can be used in different applications.

Sci. Process. 2016. V. 122, iss. 4. DOI: 10.1007/s00339-016-9797-0.

4. Белов В.В., Абрамочкин В.Н., Гридинев Ю.В., Кудрявцев А.Н., Кульев С.П., Тарасенков М.В., Троицкий В.О., Федосов А.В. Бистатическая оптико-электронная связь в УФ-диапазоне длин волн. Полевые эксперименты в 2016 г. // Optika atmosf. и океана. 2017. Т. 30, № 2. С. 111–114.
5. Солдатов А.Н., Соломонов В.И. Газоразрядные лазеры на самоограниченных переходах в парах металлов. Новосибирск: Наука, 1985. 152 с.
6. Лазеры на самоограниченных переходах атомов металлов. В 2 т. Т. 1 / под ред. В.М. Батенина. М.: ФИЗМАТЛИТ, 2009. 544 с.
7. Петраш Г.Г. Импульсные газоразрядные лазеры // Успехи физ. наук. 1971. Т. 105, вып. 4. С. 645–676.
8. Зубов В.В., Лябин Н.А., Мишин В.И., Мучник М.Л., Паршин Г.Д., Черняков Е.Я., Чурсин А.Д. Исследование лазера на парах меди с большим ресурсом и улучшенными параметрами импульса возбуждения // Квант. электрон. 1983. Т. 10, № 9. С. 1266–1268.
9. Боян П.А., Силантьев В.И., Соломонов В.И. О механизме ограничения частоты следования импульсов генерации в лазере на парах меди // Квант. электрон. 1980. Т. 7, № 6. С. 1264–1269.
10. Шиянов Д.В., Евтушенко Г.С., Суханов В.Б., Федоров В.Ф. Влияние состава газовой смеси и условий на накачки на характеристики CuBr–Ne–H<sub>2</sub>(HBr)-лазера // Квант. электрон. 2007. Т. 37, № 1. С. 49–52.
11. Шиянов Д.В., Евтушенко Г.С., Суханов В.Б. Влияние масштабирования вводимой мощности на характеристики CuBr+Ne- и CuBr+Ne+H<sub>2</sub>-лазеров // Optika atmosf. и океана. 2006. Т. 19, № 2. С. 221–223.
12. Astadjov D.N., Dimitrov K.D., Jones D.R., Kirkov V.K., Little C.E., Sabotinov N.V., Vuchkov N.K. Influence on operating characteristics of scaling sealed-off CuBr lasers in active length // Opt. Commun. 1997. V. 135. P. 289–294.
13. Trigub M.V., Evtushenko G.S., Torgaev S.N., Shiyano D.V., Evtushenko T.G. Copper bromide vapor brightness amplifiers with 100 kHz pulse repetition frequency // Opt. Commun. 2016. V. 376. P. 81–85.
14. Evtushenko G.S., Torgaev S.N., Trigub M.V., Shiyano D.V., Evtushenko T.G., Kulagin A.E. High-speed CuBr brightness amplifier beam profile // Opt. Commun. 2017. V. 383. P. 148–152.
15. Андриенко О.С., Губарев Ф.А., Димаки В.А., Иеванов А.И., Левицкий М.Е., Суханов В.Б., Троицкий В.О., Федоров В.Ф., Филонов А.Г., Шиянов Д.В. Лазеры на парах бромида меди нового поколения // Optika atmosf. и океана. 2009. Т. 22, № 10. С. 999–1009.
16. Андриенко О.С., Димаки В.А., Колбычев Г.В., Суханов В.Б., Троицкий В.О. Лазер на парах бромида меди малой мощности // Optika atmosf. и океана. 2004. Т. 17, № 11. С. 890–894.
17. Тригуб М.В., Огородников Д.Н., Димаки В.А. Исследование источника накачки лазера на парах металлов с импульсным зарядом рабочей емкости // Optika atmosf. и океана. 2014. Т. 27, № 12. С. 1112–1115.